



## تعیین ویژگی‌های ژنتیکی سویه‌های *Mycobacterium avium* subspecies *paratuberculosis* (MAP 316F) با استفاده از یک راهبرد چندگانه پاراتوبرکولوزیس V & III و 316F

### • مریم مهره کش حقیقت

بخش واکسن‌های باکتریایی هوازی دامپزشکی، مؤسسه تحقیقات واکسن و سرم‌سازی رازی، سازمان تحقیقات، آموزش و ترویج کشاورزی

### • امیرحسین شاهمرادی

بخش تحقیقات دامپزشکی مرکز تحقیقات کشاورزی و منابع طبیعی استان اصفهان، سازمان تحقیقات، آموزش و ترویج کشاورزی

### • کیوان تدین

بخش واکسن‌های باکتریایی هوازی دامپزشکی، مؤسسه تحقیقات واکسن و سرم‌سازی رازی، سازمان تحقیقات، آموزش و ترویج کشاورزی

### • روح‌اله کشاورز

بخش تحقیق و تولید توبرکولین و مالئین، مؤسسه تحقیقات واکسن و سرم‌سازی رازی، سازمان تحقیقات، آموزش و ترویج کشاورزی

### • رایناک قادری

بخش واکسن‌های باکتریایی هوازی دامپزشکی، مؤسسه تحقیقات واکسن و سرم‌سازی رازی، سازمان تحقیقات، آموزش و ترویج کشاورزی

### • محمد سخاوتی

بخش واکسن‌های باکتریایی هوازی دامپزشکی، مؤسسه تحقیقات واکسن و سرم‌سازی رازی، سازمان تحقیقات، آموزش و ترویج کشاورزی

### • نادر مصوری (نویسنده مسئول)

بخش تحقیق و تولید توبرکولین و مالئین، مؤسسه تحقیقات واکسن و سرم‌سازی رازی، سازمان تحقیقات، آموزش و ترویج کشاورزی

تاریخ دریافت: بهمن ۹۴ تاریخ پذیرش: خرداد ۹۵

Email: [n.mosavari@rvsri.ac.ir](mailto:n.mosavari@rvsri.ac.ir)



### چکیده

دو سویه غیر بومی (*Mycobacterium avium* subspecies *paratuberculosis* (MAP 316F) و MAP III & V) به مدت نیم قرن در موسسه رازی نگهداری و از آن‌ها برای تهیه پاراتوبرکولین استفاده شده است. به منظور شناسایی خصوصیات ژنتیکی این دو سویه یک استراتژی سه محور تعیین هویت (PCR-F57, PCR-IS900)، تعیین تیپ (PCR-Collins, PCR-gyrA, PCR-gyrB) و تعیین ژنوتیپ (MLVA-Thibault, SSR-Amonsin) به کار گرفته شد. در نتیجه اجرای این استراتژی هویت هر دو سویه به عنوان MAP تایید گردید و تیپ آنها از نوع گاوی شناخته شد. در ژنوتایپینگ تیپ MLVA آن‌ها INMV2 نشان داده شد که با نمونه فرانسوی (Merial) سویه MAP 316F همخوانی دارد. در تفسیر این یافته‌ها می‌توان گفت شباهت تیپ ژنتیکی دو سویه در MLVA-Thibault و SSR-Amonsin ممکن است اتفاقی باشد و یا نشانگر تعلق آنها به یک کلون اجدادی واحد باشد. علاوه بر این چون مؤسسه اتلیک ترکیه تامین کننده سویه MAP 316F مورد بررسی در این تحقیق می‌باشد، بنابراین احتمالاً یک منبع فرانسوی تامین کننده این سویه برای مؤسسه اتلیک ترکیه بوده است. انتظار می‌رود اجرای این استراتژی بر روی جدایه‌های بومی ایران دانش مولکولار اپیدمیولوژی موجود را در رابطه با پاراتوبرکولوزیس در ایران افزایش دهد.

کلمات کلیدی: MLVA، SSR typing، gyrA، gyrB، F57، IS900

● Veterinary Journal (Pajouhesh & Sazandegi) No 115 pp: 89-100

### Molecular identification of *Mycobacterium avium* subspecies paratuberculosis 316F and III & V strains by a multi-approach strategy

By: Mohrekesh Haghghat, M., Tuberculin & Mallein Research and Production Department, Razi Vaccine & Serum Research Institute, Agricultural Research, Education and Extension Organization (AREEO), Karaj, Iran. Shahmoradi, A.H., Veterinary Research Department, Isfahan Agriculture and Natural Resources Research and Education Center, Agricultural Research, Education and Extension Organization (AREEO), Karaj, Iran. Tadayon, K., Aerobic Bacteria Veterinary Vaccines Department, Razi Vaccine & Serum Research Institute, Agricultural Research, Education and Extension Organization (AREEO), Karaj, Iran. Keshavarz, R., Tuberculin & Mallein Research and Production Department, Razi Vaccine & Serum Research Institute, Agricultural Research, Education and Extension Organization (AREEO), Karaj, Iran. Ghaderi, R. Aerobic Bacteria Veterinary Vaccines Department, Razi Vaccine & Serum Research Institute, Agricultural Research, Education and Extension Organization (AREEO), Karaj, Iran. Sekhavati M., Aerobic Bacteria Veterinary Vaccines Department, Razi Vaccine & Serum Research Institute, Agricultural Research, Education and Extension Organization (AREEO), Karaj, Iran. Mosavari, N., (Corresponding Author) Tuberculin & Mallein Research and Production Department, Razi Vaccine & Serum Research Institute, Agricultural Research, Education and Extension Organization (AREEO), Karaj, Iran.

Received: 2016-02-14 Accepted: 2016-06-08

Email: n.mosavari@rvsri.ac.ir

For almost half a century *Mycobacterium avium* subspecies *paratuberculosis* (MAP) 316F and MAP III & V strains have been used in preparation of paratuberculin at Razi institute. In order to characterize their genomic properties, a multi-approach strategy was employed to authenticate their identity (PCR-IS900 or PCR-F57), their type (PCR-Collins, PCR-gyrA or PCR-gyrB) and their genotype (MLVA-Thibault or SSR-Amonsin). Consequently, both strains proved to be MAP and from a cattle type. In MLVA the genotype was found to be INMV2, a type identical to that of the French MAP 316F Merial sub-strain. In explanation of these observations, the identical patterns of both studies strains in MLVA as well as SSR typing might be a case of coincidence or an indication of a mutual ancestral clone. Besides, the fact that the supplier of MAP 316F strain studied here is the Turkish Etlik institute, it is likely that the original source for this strain is French. Application of the strategy developed in this study on indigenous MAP isolates will improve the current molecular epidemiology understanding of paratuberculosis in Iran.

**Key words:** IS900, F57, MLVA, SSR typing, gyrA, gyrB

در Blau syndrome و multiple sclerosis and Hashimoto's thyroiditis انسان مورد بررسی قرار گرفته است (۲, ۹). تظاهرات پاتولوژیک و بالینی پاراتوبرکولوزیس در دام‌ها با کرون در انسان شباهت بسیار زیادی دارد اما در شرایطی که MAP در میزبان‌های اصلی آن به سادگی قابل ردیابی است، جداسازی آن در انسان بسیار مشکل می‌باشد (۱۰). علیرغم تمام این یافته‌ها پذیرش پاراتوبرکولوزیس به عنوان یک بیماری مشترک، همچنان محل مناقشه علمی می‌باشد (۱۱).

در جغرافیای ایران پاراتوبرکولوزیس برای نخستین بار در سال‌های ۱۹۶۲ تا ۱۹۶۵ در گاوداری شرکت نفت آبادان و در بین گاوهای اصیل Syndhie و Jersaise این دامداری که از انگلستان وارد شده بودند، توسط خلیلی در مؤسسه رازی اهواز شناسایی و گزارش گردید (۱۲). در سال ۱۹۶۲ طلاچیان موفق به جداسازی باکتری عامل بیماری گردید (۱۳). در سال ۱۹۷۲ نیز بهارصفت پاراتوبرکولوزیس را در گله بز (نژاد نجدی) و گوسفند (نژاد آواسی) مؤسسه دامپروری حیدرآباد کرج که از اسرائیل وارد شده بودند، گزارش و عامل بیماری را جداسازی نمود (۱۲). برخی از پژوهشگران ایرانی معتقدند بر خلاف سل گاو که وجود آن در میان گاوهای بومی ایران حتی پیش از آغاز واردات دام‌های اصیل اروپایی مورد

#### مقدمه

بیماری پاراتوبرکولوزیس در سال‌های نخستین قرن نوزدهم میلادی شناسایی گردید (۱). باکتری *Mycobacterium avium* subsp. (*paratuberculosis* (MAP) عامل ایجاد این بیماری در نشخوارکنندگان اهلی و وحشی می‌باشد (۲). علیرغم پیشرفت کند و بدون نشانه‌های کلینیکی پاراتوبرکولوزیس در بدن میزبان (۳)، این بیماری باعث بروز خسارت‌های اقتصادی گسترده از طریق کاهش میزان بهره‌وری اقتصادی ناشی از لاغری و کشتار زودهنگام، کاهش تولید شیر و گوشت، تلفات مستقیم دام‌های آلوده و همچنین اعمال محدودیت‌های اجباری در تجارت دام زنده می‌گردد. پاراتوبرکولوزیس تقریباً در میان نشخوارکنندگان از تمام جهان گزارش گردیده است (۴, ۵).

ضررهای اقتصادی پاراتوبرکولوزیس در دامپزشکی به مراتب بیشتر از اهمیت احتمالی زئونوتیک آن مورد توجه قرار گرفته است (۶, ۷). شواهد به‌دست آمده از پاتولوژی، میکروبیولوژی و بیولوژی مولکولی پاراتوبرکولوزیس در طول یک قرن گذشته توانایی MAP را در آلودگی انسان در تمام سنین نشان داده‌اند (۸). علاوه بر این نقش این پاتوژن در ایجاد بیماری‌های Crohn disease, type-1 diabetes, sarcoidosis،

(۳۵) تاکنون ۱۳۹ تپ تیپ ژنتیکی در دیتابانک اروپایی *Mycobacterium avium complex* ثبت و از طریق درگاه [mac-inmv.tours.inra.fr](http://mac-inmv.tours.inra.fr) قابل مشاهده است (۳۶). از نظر تکنیکی مبانی این روش بدون پیچیدگی و انجام آن نیازمند دسترسی به مقادیر اندکی از ژنوم باکتری می‌باشد و نتایج بدست آمده ساده و در عین حال دارای قابلیت پردازش دیجیتال و سازگار با روش‌های پردازش الکترونیکی و ذخیره در بانک‌های اطلاعاتی می‌باشند. این ویژگی‌ها روش MLVA را نسبت به روش‌های قدیمی تر PFGE و RFLP ارجح نموده‌اند (۲۸). در سال ۲۰۰۷ با بررسی مقایسه‌ای ژنوم سویه‌های MAP در منطقه ژنتیکی لوکوس‌های *gyrA* و *gyrB* و *Costellanus*، وجود پلی‌مرفیسم در نوکلئوتیدهای واقع در موقعیت‌های ۸۶۸، ۱۶۵۳، ۱۸۲۲ و ۱۹۸۶ در ژن *gyrA* و ۲۶۴، ۱۰۸، ۱۶۲۶، ۱۳۵۳ و ۴۹۴ در ژن *gyrB* را متناسب با تیپ‌های گاوی، گوسفندی و حد واسط باکتری نشان داد و الگوریتمی را تعریف نمود که امکان تشخیص افتراقی میان این سویه‌ها را فراهم می‌نمود (۳۷).

در سال ۱۹۵۷ در جریان بازدید فتح اله انتصار از مؤسسه Weybridge انگلستان سویه‌های آزمایشگاهی MAP ۳۱۶F و MAP III & V از این مرکز به مؤسسه رازی کرج انتقال داده شد و از آن‌ها در تولید پاراتوبرکولین استفاده گردید. در سال‌های اخیر این سویه‌ها مجدداً از مؤسسه Etlik آنکارا در ترکیه دریافت و به مؤسسه رازی انتقال داده شدند.

در مطالعه حاضر با هدف شناسایی ویژگی‌های ژنتیکی دو سویه MAP ۳۱۶F و MAP III & V، از یک الگوریتم تلفیقی مشتعل بر دو مارکر ژنتیکی *IS900* و *F57* به عنوان مارکرهای تعیین هویت و روش *Collins* و همچنین SNP typing ژن‌های *gyrA* و *gyrB* به منظور تعیین تیپ و روش‌های MLVA (هشت لوکوس) و همچنین SSR typing (چهار لوکوس) به منظور تعیین تیپ ژنتیکی این سویه‌ها استفاده شد.

### مواد و روش‌ها

#### سویه‌های باکتری و استخراج کروموزوم باکتری

سویه‌های MAP III & V و MAP 316F از آرشیو میکروبی بخش تحقیق و تولید توپرکولین و ملئین مؤسسه رازی در این مطالعه مورد استفاده قرار گرفتند. هریک از این سویه‌ها بر روی دو لوله کشت یونیورسال حاوی محیط کشت Herold's egg-yolk medium به همراه مایکوباکترین J (۲۶) تجدید کشت شدند و ۱۲-۸ هفته در دمای ۳۷ درجه سانتی‌گراد تا زمان مشاهده پرگنه‌ها، باقی ماندند. اطمینان از رشد مایکوباکتریایی از طریق تهیه لام میکروسکوپی از لوله‌های کشت و مشاهده باکتری‌های اسید فسفات انجام پذیرفت. برای استخراج ژنوم باکتری از روش ساده جوشانیدن استفاده شد و ماده ژنتیکی به دست آمده به صورت مستقیم برای تمام آزمایش‌های ژنومی استفاده گردید (۳۸).

#### آزمایش‌های ژنومی

در مجموع شش آزمایش مستقل در سه مرحله تعیین هویت، تعیین تیپ و ژنوتایپینگ سویه‌ها انجام گردید که همه آن‌ها بر اساس سیستم PCR اجرا گردیدند. در مرحله نخست به منظور تعیین هویت، دو مارکر ژنتیکی هم ارز IS900 و F57 که در بین اعضای جنس مایکوباکتریوم تنها در ژنوم باکتری‌های MAP یافت می‌شوند، مورد استفاده قرار گرفتند.

توجه قرار گرفته است، منشاء وجود و انتشار پاراتوبرکولوزیس در میان گله‌های گاو، گوسفند و بز ایران واردات دام‌های آلوده و انتقال عامل بیماری توسط آنان می‌باشد (۱۲). مطالعات اخیر نشان می‌دهند که در حال حاضر این بیماری با درجات مختلفی از نظر فراوانی تقریباً در تمام قطب‌های پرورش نشخوارکنندگان و مناطق دامپروری کشور و از جمله آذربایجان شرقی (۱۴)، خراسان رضوی (۱۵)، فارس (۱۶)، اصفهان (۱۷)، مرکزی (۱۸)، مازندران (۱۹) و خوزستان (۲۰) وجود دارد. محدودیت‌های مالی و کمبود نیروی انسانی و تمرکز بر روی کنترل بیماری‌های مهم‌تر مشترک میان انسان و دام نظیر سل گاوی و بروسلوز باعث گردیده است علیرغم خسارت‌های مالی قابل توجه، پاراتوبرکولوزیس در فهرست بیماری‌های اولویت‌دار در برنامه کاری نهادهای دامپزشکی دولتی قرار نداشته باشد.

دوره انکوباسیون MAP بسیار طولانی است و رشد آزمایشگاهی باکتری در جداسازی اولیه وابسته به وجود مکمل آهن (*mycobactin j*) می‌باشد و به ویژه در مورد جدایه‌های انسانی و گوسفندی می‌تواند بیش از یکسال به طول انجامد (۲۱، ۲۲). در سال ۲۰۰۵ ژنوم کامل سویه MAP K10 شناسایی و اطلاعات آن منتشر گردید. این سویه در دهه ۷۰ میلادی در آمریکا از یک گله گاو شیری جداسازی گردیده بود. در ژنوم این سویه ۴,۸۲۹,۷۸۱ زوج باز شناسایی گردید (۲۳).

در سال‌های اخیر به منظور فراهم نمودن امکان تشخیص MAP با استفاده از روش‌های بیولوژی مولکولی، تعدادی پروتکل PCR بر مبنای مارکرهای ژنتیکی اختصاصی MAP معرفی شده‌اند که از میان آن‌ها می‌توان به IS900 (۲۴)، ISMav2 (۲۵)، *f57* (۲۴)، locus ۲۵۵ (۲۶) و HspX (۲۷) اشاره نمود.

وجود سویه‌های مختلف در جمعیت MAP بر اساس مشاهده ویژگی‌های متفاوت فنوتیپی از دهه ۱۹۳۰ میلادی مورد توجه قرار گرفته است. بر اساس خصوصیات فنوتیپی، ژنوتیپی و همچنین میزبان، تاکنون سه تیپ MAP مورد شناسایی قرار گرفته است که شامل Type I (Sheep/S type) و Type II (Cattle/C type) و Type III (Intermediate type) می‌باشد (۲۸، ۲۹). تشخیص افتراقی میان این سویه‌ها توسط سه روش IS900-PCR-REA، RFLP، PFGE و *IS1311* (۳۰) همچنین در سال ۲۰۰۲ امکان تمایز میان سویه‌های تیپ ۱ و تیپ ۲ با استفاده از یک PCR تک مرحله‌ای امکان‌پذیر گردید (۳۱).

در سال ۲۰۰۴ آمونسین ۱۱ لوکوس SSR را در ژنوم سویه MAP K10 شناسایی نمود که از نظر تعداد کپی واحدهای تکرار شونده یک (نظیر G)، دو (مانند GC) و سه (مانند GGT) نوکلئوتیدی در میان جدایه‌های MAP دارای تنوع بودند (۳۲). با استفاده از این ویژگی آمونسین روشی را ابداع نمود (SSR typing) که متکی بر PCR بود و امکان بررسی تنوع ژنتیکی و اپیدمیولوژی جدایه‌های MAP از نقاط مختلف جهان فراهم می‌نمود. بر اساس اطلاعات موجود نشان داده شده است که فقط جدایه‌های خاصی از MAP که دارای تیپ‌های SSR مشخصی می‌باشند، قادر به آلوده نمودن میزبان‌های مختلف و از جمله انسان می‌باشند (۳۰).

در سال ۲۰۰۷ تیپ‌الت روش Multiple Locus Variable Number Tandem Repeat Analysis (MLVA) را با استفاده از ۸ لوکوس در مورد ژنوتایپینگ MAP معرفی نمود که به تدریج با کسب مقبولیت جهانی به روش استاندارد در تایپینگ مولکولی MAP تبدیل گردید (۱۱، ۳۰، ۳۳-).

محصولات تکثیر، محصولات PCR در مورد آزمایش‌های MLVA (هشت لوکوس) و SSR (چهار لوکوس)، *gyrA* (چهار لوکوس)، *gyrB* (چهار لوکوس) (چهار لوکوس) هر دو سویه تعیین توالی گردیدند. از نرم افزارهای Clustal W2 و Chromas lite Version ۲,۱,۱ برای قرائت و پردازش کروماتوگرام‌ها و مقایسه آن‌ها با مناطق هم ارز از ژنوم MAP 4 و MAP K10 و همچنین سویه *Mycobacterium avium subspecies avium* ۱۰۴ مقایسه شدند. از نرم افزار Tandem Repeats Finder Version ۴,۰,۷b به منظور تعیین دقیق ساختمان و تعداد واحدهای تکرار شونده در هر لوکوس استفاده شد.

### نتایج

#### آزمایش‌های PCR-IS۹۰۰ و PCR-F۵۷

هر دو سویه تحت بررسی در آزمایش‌های PCR-IS۹۰۰ و PCR-F۵۷ محصولاتی به ترتیب به اندازه‌ی ۵۶۰ جفت باز و ۷۰۴ جفت باز تولید نمودند و بدین ترتیب هویت آن‌ها به عنوان MAP تأیید شد.

#### آزمایش Collins

در آزمایش PCR-Collins هر دو سویه قطعه‌ای به طول ۳۱۰ جفت باز مشاهده و شناسایی گردید و بدین ترتیب تیب هر دو سویه تحت آزمون به عنوان type ۲ (گاوی) مورد تأیید قرار گرفت.

#### آزمایش SNP-gyrA & SNP-gyrB

با انجام موفقیت آمیز چهار واکنش PCR در مورد هر ژن جمعا هشت محصول PCR در مورد هر سویه بدست آمد و توالی نوکلئوتیدی آن‌ها تعیین گردید. در نتیجه چیدمان توالی‌های بدست آمده توالی کامل هر ژن در هر سویه مشخص شد. بدین ترتیب نوکلئوتیدهای ۱۶۵۳، ۸۶۸، ۱۸۲۲ و ۱۹۸۶ در ژن *gyrA* و ۲۶۴، ۱۰۸، ۱۶۲۶، ۱۳۵۳ و ۴۹۴ در ژن *gyrB* متناسب با نقاط هم ارز در ژنوم سویه MAP K10 تعیین گردیدند (جدول ۳). با توجه به همخوانی میان این نوکلئوتیدها در هر دو سویه تحت بررسی و سویه گاوی MAP K10 تیب هر دو سویه نیز گاوی تعیین گردید (جدول ۳).

#### مشاهدات آزمایش

##### MLVA typing

اندازه قطعات مربوط به لوکوس‌های هشت گانه (VNTR292 (300 bp)، (۴۷ bp) ۲۱۶، (۲۵ bp) ۲۵، (۲۹۸ bp) X3، (۷ bp) ۲۰۳، (۲۰۸ bp) MIRU-VNTR، (۳۲ bp) ۶۴۹ and (۱۰۳ bp) ۸۰۳) بر اساس یافته‌های ژل الکتروفورز و همچنین تعیین توالی شناسایی و مشخص گردید. استفاده از نرم افزار Tandem Repeats Finder در جستجو به دنبال واحدهای تکراری در هر لوکوس نشان داد که در لوکوس‌های VNTR۲۹۲، X3، VNTR۲۹۲، MIRU-VNTR، ۲۵، ۴۷، MIRU-VNTR، ۳، MIRU-VNTR، ۷، MIRU-VNTR، ۱۰ و ۳۲ به ترتیب تعداد سه، دو، سه، سه، دو، دو، دو و هشت کپی از واحدهای تکرار شونده در ژنوم هر دو سویه وجود دارد. جستجو در درگاه بین‌المللی ژنوتایپینگ MLVA مربوط به MAP مستقر در فرانسه هویت این تیب ژنتیکی را INMV۲ تعیین نمود.

پروتکل پیشنهادی داهمن در مورد PCR-IS900 با تغییرات اندک (۳۹) و در مورد PCR-F57 از روش شاننبروکر (۴۰) همراه با اصلاحات کلی و از جمله یک زوج پرایمر جدید استفاده گردید. در مرحله دوم به منظور تعیین تیب ژنتیکی باکتری‌ها (تیب گوسفندی و یا گاوی) از دو استراتژی استفاده شد. این استراتژی‌ها شامل پروتکل کالینز و پروتکل پیشنهادی کاستلانوس بود که همراه با اصلاحات اجرا شدند. در مورد پروتکل کاستلانوس در مورد هر یک از دو ژن *gyrA* و *gyrB*، چهار زوج پرایمر جدید طراحی شد تا امکان تکثیر کامل طول هر ژن همراه با بخشی از قسمت‌های جانبی در دو سمت آن فراهم گردد. در مرحله سوم برای تعیین ژنوتیب سویه‌ها از دو روش تیبالت MLVA (۲۱) و آمونسنین-SSR (۳۲) استفاده شد. در روش MLVA از پروتکل پیشنهادی تیبالت استفاده شد. در ارتباط با لوکوس‌های ۲۹۲، X3، ۲۵، ۴۷، ۳ و ۷ از پرایمرهای معرفی شده تیبالت و در مورد دو لوکوس ۱۰ و ۳۲ به جهت ملاحظات تکنیکی از دو زوج پرایمر جدید استفاده شد. در روش SSR typing بر مبنای پروتکل پیشنهادی آمونسنین چهار لوکوس SSR1، SSR2، SSR8 و SSR9 با استناد بر بالاتر بودن قدرت تفریق ژنتیکی آن‌ها در گزارشات منتشر شده پیشین مورد استفاده قرار گرفتند و برای هر کدام از آن‌ها یک زوج پرایمر جدید طراحی گردید.

طراحی پرایمرهای جدید با استفاده از برنامه Primer ۳ (۴۱، ۴۲) صورت پذیرفت (جدول ۱). برای این منظور حدود دو کیلو باز از ژنوم MAP K10 در حریم هر یک از لوکوس‌های مورد نظر در هر دو پهلوی آن به شکلی انتخاب گردید که لوکوس مورد نظر از نظر موقعیت تقریباً در میانه قرار گرفته باشد.

#### آزمایش PCR

ساخت پرایمرها توسط شرکت ماکروژن کره جنوبی (Macrogen®، Korea) صورت پذیرفت. برای آماده‌سازی همه واکنش‌ها از PCR master mix (شرکت آمپلیکون دانمارک) استفاده شد. حجم نهایی هر واکنش برابر با ۱۲ میکرولیتر و متشکل از شش میکرولیتر PCR master mix، یک میکرولیتر از هر پرایمر ۰/۴۸، میکرولیتر DMSO، سه میکرولیتر از ماده ژنتیکی و ۰/۵۲ میکرولیتر آب مقطر دوبار تقطیر بود. به عنوان کنترل منفی از آب دوبار تقطیر استفاده شد. از ژل ۱/۲ درصد آگاروز (Invitrogen®، USA) پیش رنگ شده با Red Safe® برای آشکارسازی محصولات واکنش استفاده شد. ژل‌ها در میدان الکتریکی به قدرت دو ولت بر سانتیمتر به مدت دو ساعت ران شده و در دستگاه ژل داگ (BioRad®، USA) عکس برداری شدند. تعیین اندازه تقریبی محصولات تکثیر به کمک مارکر استاندارد DNA ساخت مؤسسه رازی (۴۳) صورت پذیرفت.

برای انجام واکنش‌های PCR تا حد امکان از پروتکل‌های مشترک و در مجموع از چهار پروتکل استفاده گردید به گونه‌ای که برای آزمایش‌های *JS 900* و *F57* Collins از یک پروتکل، برای آزمایشات *gyrA* و *gyrB* از یک پروتکل و همچنین در مورد MLVA typing و SSR typing هر یک از یک پروتکل استفاده شد (جدول ۱). بر حسب مورد و ضرورت تکنیکی، پرایمرهای جدید در مورد همه و یا تعدادی از لوکوس‌های ژنتیکی هدف در هر آزمایش طراحی و مورد استفاده قرار گرفت.

#### تعیین توالی نوکلئوتیدها و اندازه محصولات PCR

به منظور تکمیل یافته‌های ژل الکتروفورز و تعیین دقیق اندازه



انتخابی صورت پذیرد (۵۰، ۵۱). در حال حاضر حداقل دو تحت سویه (sub-strain/daughter strain) از سویه معروف MAP 316F شناخته شده است که شامل نمونه موجود در مؤسسه Weybridge انگلستان و نمونه موجود در مؤسسه Merial فرانسه می باشد. اجرای پروتکل MIRU-VNTR تیپ ژنتیکی نمونه انگلیسی را INMV17 (۳۱۳۳۲۲۲۸) و تیپ نمونه فرانسوی را INMV2 (۳۲۳۳۲۲۲۸) تعیین نموده است. این دو سویه در تعداد واحدهای تکرار شونده ژنوم خود در لوکوس X3 اختلاف دارند به طوری که در این لوکوس در تحت سویه انگلیسی فقط یک کپی و در تحت سویه فرانسوی دو کپی از واحد تکرار شونده مشاهده می شود. تحت سویه مورد بررسی در این تحقیق که در سالهای اخیر از مؤسسه اتلیک ترکیه تهیه شده و به مؤسسه رازی انتقال یافته است مشابه با نمونه فرانسوی دارای تیپ ژنتیکی INMV2 می باشد. توضیح این مشابهت می تواند تصور وجود یک تامین کننده فرانسوی برای تحت سویه موجود در مؤسسه اتلیک و یا وجود یک سویه اجدادی مشترک بین تحت سویه فرانسوی و ترک باشد. از آنجایی که اطلاعاتی از ویژگیهای ژنتیکی تحت سویه ترک منتشر نگردیده است، نمی توان این درستی این فرضیات را بررسی نمود.

### تشکر و قدردانی

تامین مالی و لجستیکی این تحقیق بطور کامل توسط مؤسسه تحقیقات واکسن و سرم سازی رازی و از طریق یک فقره پروژه تحقیقاتی به شماره ۹۴۱۰۶-۱۸-۱۸-۲ تامین گردیده است. مریم مهره کش حقیقت دانش آموخته کارشناسی ارشد رشته باکتری شناسی پزشکی مؤسسه رازی است و بخشی از مطالب منتشر شده در این مقاله ناظر بر یافتههای تحقیقاتی پایان نامه مشارالیه می باشد. نادر مصوری راهنمایی پروژه کارشناسی ارشد مریم حقیقت را به عهده داشته است. کیوان تدین ایده تحقیق و استراتژی عملیات آزمایشگاهی مورد استفاده در این مطالعه را برنامه ریزی نموده، تحلیل و پردازش نتایج و همچنین نگارش متن مقاله را انجام داده است. روح اله کشاورز عملیات آزمایشگاهی کار بر روی باکتری زنده، بازیافت سویه های واکسینال، تجدید کشت و استخراج ماده ژنتیکی مورد نیاز تحقیق را مدیریت و اجرا نموده است. میزان مسئولیت و مشارکت نادر مصوری و کیوان تدین در تهیه و تدوین این مقاله یکسان و برابر می باشد. نویسندگان مایلند یاد و خاطره دکتر فتح اله انتصار و دکتر سید هادی هدایتی و نیز دکتر سید مرتضی صدری اساتید پیشکسوت بخش تحقیق و تولید توپر کولین و مالئین مؤسسه رازی را گرامی دارند.

### منابع مورد استفاده

- Chiodini RJ, Chamberlin WM, and Pfaller S, What is *mycobacterium avium* subsp. Paratuberculosis? Appl Environ Microbiol 2011; 77: 1923-1924; author reply 1923-1924.
- Galiero A, Fratini F, Mataragka A, Turchi B, Nuvoloni R, Ikonopoulou J, and Cerri D, Detection of *mycobacterium avium* subsp. *Paratuberculosis* in cheeses from small ruminants in tuscany. *Int J Food Microbiol* 2016; 217: 195-199.
- Windsor PA, Paratuberculosis in sheep and goats. *Vet Microbiol*

### مشاهدات آزمایشی SSR typing

نتایج حاصل از بررسی رشته های نوکلئوتیدی به دست آمده در جریان تعیین توالی با استفاده از نرم افزار Tandem Repeats Finder نشان داد که در ژنوم سویه V & MAP III و MAP 316F اندازه قطعات تکثیر شده مرتبط با لوکوس SSR1، SSR2، SSR8 و SSR9 به ترتیب برابر ۷۷۰، ۸۰۰، ۷۸۱ و ۵۸۱ زوج باز می باشد. با در نظر گرفتن اینکه واحد تکرار شونده در هر دو لوکوس SSR1 و SSR2، یک نوکلئوتید انفرادی G، در لوکوس SSR8 سه نوکلئوتید TGG و در لوکوس SSR9 سه نوکلئوتید GCA می باشد، تعداد کپی های واحد تکرار شونده در لوکوس SSR1 برابر با ۱۹، در لوکوس SSR2 برابر با ۱۰، در لوکوس SSR8 برابر پنج و در لوکوس SSR9 برابر با پنج عدد در ژنوم این سویه ها مشخص گردید.

### بحث

نگهداری طولانی مدت دو سویه MAP 316F و V & MAP III در کنار سویه *Mycobacterium avium* subspecies *avium* D4 در آرشیو میکروبی مؤسسه رازی که نخستین بار در دهه سی شمسی از مؤسسه Weybridge به ایران انتقال داده شدند، نگرانی هایی را در زمینه احتمال آلودگی اتفاقی تقاطعی (cross-contamination) آن ها بوجود آورده بود. با اجرای دو آزمایش PCR-F57 و PCR-IS900 که به عنوان دو مارکر ژنتیکی اختصاصی هم ارز اما مستقل MAP را هدف قرار می دهند، خلوص سویه های مورد بررسی تایید گردید.

اجرای استراتژی دو گانه PCR-Collins و SNP-gyrA & SNP-gyrB در این پروژه به درستی تیپ گاوی هر دو سویه MAP 316F و MAP III V & را نشان داد که با آنچه از پیشینه این دو سویه منتشر شده بود، سازگاری می باشد. نویسندگان معتقدند تعیین تیپ پاتوژن در مطالعات اپیدمیولوژی پاراتوبرکولوزیس در ایران باید مورد توجه محققین قرار گیرد. مناقشه پایدار بر سر اهمیت MAP به عنوان یک پاتوژن قادر به ایجاد بیماری در انسان سبب گردیده است که در صنایع و واحدهای فرآوری لبنی وجود این باکتری به عنوان یک مؤلفه تهدیدکننده سلامتی مصرف کنندگان در نظر گرفته نشود. این در حالی است که وجود این باکتری در انواع محصولات لبنی پاستوریزه اعم از شیر و فرآورده های آن نظیر پنیر و پودر شیر خشک (۴۴-۴۶) در نقاط مختلف جهان گزارش شده و دست کم در مصرف کنندگان دچار مشکلات سیستم ایمنی می تواند یک تهدید برای سلامتی محسوب گردد (۴۷، ۴۸). بدین ترتیب با در نظر گرفتن فقدان منابع کافی مالی برای اجرای برنامه های تست و کشتار، واکسیناسیون می تواند به عنوان یک راهکار اقتصادی در کنترل گسترش بیماری در گله های نشخوارکنندگان کوچک ایران مورد توجه قرار گیرد (۴۹). هر دو سویه MAP 316F و V & MAP III، بصورت گسترده در انگلستان به عنوان سویه های واکسینال در آزمایشات کلینیکی مورد استفاده قرار گرفته اند و سویه MAP 316F در حال حاضر معروف ترین سویه شناخته شده بین المللی در تهیه واکسن تجاری پاراتوبرکولوزیس (*Neoparasec*®، *Silirum*®، *Gudair*®) شناخته می شود. انتظار می رود اجرای احتمالی برنامه واکسیناسیون علیه پاراتوبرکولوزیس در ایران پس از اجرای مطالعات اپیدمیولوژی مولکولی بر روی جدایه های پاتوژن در ایران و همچنین مقایسه آن ها با سویه یا سویه های مورد استفاده در واکسن

- 2015; 181: 161-169.
4. Momotani E, Romona NM, Yoshihara K, Momotani Y, Hori M, Ozaki H, Eda S, and Ikegami M, Molecular pathogenesis of bovine paratuberculosis and human inflammatory bowel diseases. *Vet Immunol Immunopathol* 2012; 148: 55-68.
  5. Wolf R, Barkema HW, De Buck J, and Orsel K, Sampling location, herd size, and season influence *mycobacterium avium* ssp. Paratuberculosis environmental culture results. *J Dairy Sci* 2015; 98: 275-287.
  6. Wolf R, Barkema HW, De Buck J, Slomp M, Flaig J, Hauptstein D, Pickel C, and Orsel K, High herd-level prevalence of *mycobacterium avium* subspecies *paratuberculosis* in western canadian dairy farms, based on environmental sampling. *J Dairy Sci* 2014; 97: 6250-6259.
  7. Nagel-Alne GE, Asheim LJ, Hardaker JB, Solverod L, Lindheim D, and Valle PS, The norwegian healthier goats programme--a financial cost-benefit analysis. *Prev Vet Med* 2014; 114: 96-105.
  8. Wynne JW, Beller C, Boyd V, Francis B, Gwozdz J, Carajias M, Heine HG, Wagner J, Kirkwood CD, and Michalski WP, Snp genotyping of animal and human derived isolates of *mycobacterium avium* subsp. Paratuberculosis. *Vet Microbiol* 2014; 172: 479-485.
  9. Waddell LA, Rajic A, Stark KD, and Mc ES, The zoonotic potential of *mycobacterium avium* ssp. Paratuberculosis: A systematic review and meta-analyses of the evidence. *Epidemiol Infect* 2015; 143: 3135-3157.
  10. Sechi LA and Dow CT, *Mycobacterium avium* ss. Paratuberculosis zoonosis - the hundred year war - beyond crohn's disease. *Front Immunol* 2015; 6: 96.
  11. Ronai Z, Cservincsik A, Gyuranecz M, Kreizinger Z, Dan A, and Janosi S, Molecular analysis and miru-vntr typing of *mycobacterium avium* subsp. Paratuberculosis strains from various sources. *J Appl Microbiol* 2015; 118: 275-283.
  12. Baharsefat M, Amjadi A, Ahourai P, Yamini B, Entessar F, and Hedayati H, Paratuberculosis in goats and sheep in iran. Epidemiological, clinical, pathological features and laboratory diagnosis. *Archive of Razi Institute* 1972; 24: 49-61.
  13. Talatchian M, First report of johne's disease in iran. *Bulletin-Office international des epizooties* 1965; 64: 779.
  14. Fathi R, Sarkarati F, Eslami M, Rezavand B, and Nourizadeh A, Detection of *mycobacterium avium* subsp. Paratuberculosis in cow milk using culture and per methods. *Archives of Razi Institute* 2011; 66: 95-100.
  15. Seyyedini M, Tadjbakhsh H, and Salehi T, Identification of *mycobacterium avium* subsp. Paratuberculosis in fecal samples of holstein-friesian cattle using molecular and cultivation methods. *Journal of Veterinary Research* 2010; 65: 135-140, 171.
  16. Ansari-Lari M, Haghkhal M, Bahramy A, and Novin Baهران AM, Risk factors for *mycobacterium avium* subspecies paratuberculosis in fars province (southern iran) dairy herds. *Trop Anim Health Prod* 2009; 41: 553-557.
  17. Shahmoradi AH, Arefpajohi R, Tadayon K, and Mosavari N, Paratuberculosis in holstein-friesian cattle farms in central iran. *Trop Anim Health Prod* 2008; 40: 169-173.
  18. Ghaem Maghami S, Khosravi M, Ahmadi M, Denikoo A, Hagh-din M, and Koochakzadeh A, Study of the prevalence rate of john's disease in markazi province and evaluation of absorbed elisa for adoption as a diagnostic method. *Scientific-Research Iranian Veterinary Journal* 2012; 8: 54-59.
  19. Sadati R, Jafarpour M, Mirinargesi M, Nazemi A, and Barghi A, Prevalence of *mycobacterium avium* subsp. Paratuberculosis in dairy cattle bred in northern iran by nested-pcr. 2012;
  20. Haji KMR, Ghorbanpour M, and Soleymani M, The prevalence *mycobacterium paratuberculosis* infection in ileocecal valve of cattle slaughtered in ahvaz abattoir, southern. *Iranian Journal of Veterinary Research (IJVR)* 2006;
  21. Thibault VC, Grayon M, Boschiroli ML, Hubbans C, Overduin P, Stevenson K, Gutierrez MC, Supply P, and Biet F, New variable-number tandem-repeat markers for typing *mycobacterium avium* subsp. Paratuberculosis and m. Avium strains: Comparison with is900 and is1245 restriction fragment length polymorphism typing. *J Clin Microbiol* 2007; 45: 2404-2410.
  22. Dimareli-Malli Z, Mazaraki K, Stevenson K, Tsakos P, Zdragas A, Giantzi V, Petridou E, Heron I, and Vafeas G, Culture phenotypes and molecular characterization of *mycobacterium avium* subsp. Paratuberculosis isolates from small ruminants. *Res Vet Sci* 2013; 95: 49-53.
  23. Li L, Bannantine JP, Zhang Q, Amonsin A, May BJ, Alt D, Banerji N, Kanjilal S, and Kapur V, The complete genome sequence of *mycobacterium avium* subspecies paratuberculosis. *Proc Natl Acad Sci U S A* 2005; 102: 12344-12349.
  24. Wolf R, Orsel K, De Buck J, and Barkema HW, Calves shedding *mycobacterium avium* subspecies paratuberculosis are common on infected dairy farms. *Vet Res* 2015; 46: 71.
  25. Sting R, Hrubenja M, Mandl J, Seemann G, Salditt A, and Waibel S, Detection of *mycobacterium avium* subsp. Paratuberculosis in faeces using different procedures of pre-treatment for real-time pcr in comparison to culture. *Vet J* 2014; 199: 138-142.
  26. Mobius P, Hotzel H, Rassbach A, and Kohler H, Comparison of 13 single-round and nested pcr assays targeting is900, ismav2, f57 and locus 255 for detection of *mycobacterium avium* subsp.

Paratuberculosis. *Vet Microbiol* 2008; 126: 324-333.

27. Singh AV, Chauhan DS, Singh A, Singh PK, Sohal JS, and Singh SV, Application of is1311 locus 2 pcr-rea assay for the specific detection of 'bison type' *mycobacterium avium* subspecies paratuberculosis isolates of indian origin. *Indian J Med Res* 2015; 141: 55-61.
28. Castellanos E, Romero B, Rodriguez S, De Juan L, Bezos J, Mateos A, Dominguez L, and Aranaz A, Molecular characterization of *mycobacterium avium* subspecies paratuberculosis types ii and iii isolates by a combination of miru-vnr loci. *Vet Microbiol* 2010; 144: 118-126.
29. Collins DM, Gabric DM, and De Lisle GW, Identification of two groups of *mycobacterium paratuberculosis* strains by restriction endonuclease analysis and DNA hybridization. *J Clin Microbiol* 1990; 28: 1591-1596.
30. Sohal JS, Singh SV, Singh AV, and Singh PK, Strain diversity within *mycobacterium avium* subspecies paratuberculosis--a review. *Indian J Exp Biol* 2010; 48: 7-16.
31. Collins DM, De Zoete M, and Cavaignac SM, *mycobacterium avium* subsp. Paratuberculosis strains from cattle and sheep can be distinguished by a pcr test based on a novel DNA sequence difference. *J Clin Microbiol* 2002; 40: 4760-4762.
32. Amonsin A, Li LL, Zhang Q, Bannantine JP, Motiwala AS, Sreevatsan S, and Kapur V, Multilocus short sequence repeat sequencing approach for differentiating among *mycobacterium avium* subsp. Paratuberculosis strains. *J Clin Microbiol* 2004; 42: 1694-1702.
33. Verdugo C, Pleydell E, Price-Carter M, Prattley D, Collins D, De Lisle G, Vogue H, Wilson P, and Heuer C, Molecular epidemiology of *mycobacterium avium* subsp. Paratuberculosis isolated from sheep, cattle and deer on new zealand pastoral farms. *Prev Vet Med* 2014; 117: 436-446.
34. Oakey J, Gavey L, Singh SV, Platell J, and Waltisbuhl D, Variable-number tandem repeats genotyping used to aid and inform management strategies for a bovine john's disease incursion in tropical and subtropical australia. *J Vet Diagn Invest* 2014; 26: 651-657.
35. Fernandez-Silva JA, Abdulmawjood A, Akineden O, and Bulte M, Genotypes of *mycobacterium avium* subsp. Paratuberculosis from south american countries determined by two methods based on genomic repetitive sequences. *Trop Anim Health Prod* 2012; 44: 1123-1126.
36. Stevenson K, Alvarez J, Bakker D, Biet F, De Juan L, Denham S, Dimareli Z, Dohmann K, Gerlach GF, Heron I, Kopečna M, May L, Pavlik I, Sharp JM, Thibault VC, Willemsen P, Zadoks RN, and Greig A, Occurrence of *mycobacterium avium* subspecies paratuberculosis across host species and european countries with evidence for transmission between wildlife and domestic ruminants. *BMC Microbiol* 2009; 9: 212.
37. Castellanos E, Aranaz A, Romero B, De Juan L, Alvarez J, Bezos J, Rodriguez S, Stevenson K, Mateos A, and Dominguez L, Polymorphisms in gyra and gyrb genes among *mycobacterium avium* subsp. Paratuberculosis type i, ii, and iii isolates. *J Clin Microbiol* 2007; 45: 3439-3442.
38. Karimnasab N, Tadayon K, Khaki P, Moradi Bidhendi S, Ghaideri R, Sekhavati M, and Asadi F, An optimized affordable DNA-extraction method from salmonella enterica enteritidis for pcr experiments. *Archives of Razi* 2013; 68: 105-109.
39. Dohmann K, Strommenger B, Stevenson K, De Juan L, Stratmann J, Kapur V, Bull TJ, and Gerlach GF, Characterization of genetic differences between *mycobacterium avium* subsp. Paratuberculosis type i and type ii isolates. *J Clin Microbiol* 2003; 41: 5215-5223.
40. Schonenbrucher H, Abdulmawjood A, Failing K, and Bulte M, New triplex real-time pcr assay for detection of *mycobacterium avium* subsp. Paratuberculosis in bovine feces. *Appl Environ Microbiol* 2008; 74: 2751-2758.
41. Ye J, Coulouris G, Zaretskaya I, Cutcutache I, Rozen S, and Madden TL, Primer-blast: A tool to design target-specific primers for polymerase chain reaction. *BMC bioinformatics* 2012; 13: 1.
42. Untergasser A, Nijveen H, Rao X, Bisseling T, Geurts R, and Leunissen JA, Primer3plus, an enhanced web interface to primer3. *Nucleic Acids Res* 2007; 35: W71-W74.
43. Sekhavati M, Tadayon K, Ghaderi R, Banihashemi R, Jabbari AR, Shokri G, and Karimnasab N, "In-house" production of DNA size marker from a vaccinal bacillus anthracis strain. *Iranian journal of microbiology* 2015; 7: 45.
44. Shin MK, Shin SW, Jung M, Park H, Park HE, and Yoo HS, Host gene expression for *mycobacterium avium* subsp. Paratuberculosis infection in human thp-1 macrophages. *Pathog Dis* 2015; 73: 45.
45. Paolicchi F, Cirone K, Morsella C, and Gioffre A, First isolation of *mycobacterium avium* subsp paratuberculosis from commercial pasteurized milk in argentina. *Braz J Microbiol* 2012; 43: 1034-1037.
46. Eltholth MM, Marsh VR, Van Winden S, and Guitian FJ, Contamination of food products with *mycobacterium avium* paratuberculosis: A systematic review. *J Appl Microbiol* 2009; 107: 1061-1071.
47. Monif GR, The hruska postulate of crohn's disease. *Med Hypotheses* 2015; 85: 878-881.

48. Mameli G, Madeddu G, Cossu D, Galleri G, Manetti R, Babudieri S, Mura MS, and Sechi LA, Immune response induced by epstein-barr virus and *mycobacterium avium* subsp. Paratuberculosis peptides in current and past infectious mononucleosis: A risk for multiple sclerosis? *Eur J Neurol* 2015;
49. Groenendaal H, Zagmutt FJ, Patton EA, and Wells SJ, Cost-benefit analysis of vaccination against *mycobacterium avium* ssp. Paratuberculosis in dairy cattle, given its cross-reactivity with tuberculosis tests. *J Dairy Sci* 2015; 98: 6070-6084.
50. Singh SV, Singh PK, Kumar N, Gupta S, Chaubey KK, Singh B, Srivastav A, Yadav S, and Dhama K, Evaluation of goat based 'indigenous vaccine' against bovine johnes disease in endemically infected native cattle herds. *Indian J Exp Biol* 2015; 53: 16-24.
51. Singh SV, Singh PK, Singh AV, Sohal JS, Kumar N, Chaubey KK, Gupta S, Rawat KD, Kumar A, Bhatia AK, Srivastav AK, and Dhama K, 'Bio-load' and bio-type profiles of *mycobacterium avium* subspecies paratuberculosis infection in the domestic livestock population endemic for johnes disease: A survey of 28 years (1985-2013) in india. *Transbound Emerg Dis* 2014; 61 Suppl 1: 43-55.





جدول ۱- پرایمرهای مورد استفاده در این مطالعه.

Locus/primer (alias)	Nucleotide sequence (۳' → ۵')	Reference (s)	
IS <sup>۹۰۰</sup> f	TTC TTG AAG CGT GTT CGG GGC C	(۳۹)	
IS <sup>۹۰۰</sup> r	GCG ATG ATC GCA GCG TCT TTG G		
F <sup>۵۷</sup> f	ACC GAA TGT TGT TGT CAC CG	This study	
F <sup>۵۷</sup> r	GGA CAC CGA AGC ACA CTC TC		
DMC <sup>۵۲۹</sup> -	TTG ACA ACG TCA TTG AGA ATC C	(۳۱)	
DMC <sup>۵۳۱</sup> -	TCT TAT CGG ACT TCT TCT GGC		
DMC <sup>۵۳۳</sup> -	CGG ATT GAC CTG CGT TTC AC		
GYRB- <sup>۱</sup> f	CGC GGT TAG CTG GGT AGA AA	Tadayon K, unpublished data	
GYRB- <sup>۱</sup> r	TCA GGC CCT TGT TGA GGA AC		
GYRB- <sup>۲</sup> f	GGC TAC GAG TGG TCG CAG TA		
GYRB- <sup>۲</sup> r	CTC ACC TTG ACC GAG ATC ACC		
GYRB- <sup>۳</sup> f	GTT CGC CAA CAC CAT CAA CA		
GYRB- <sup>۳</sup> r	GTG ATG ATC GCC TGC ACT TC		
GYRB- <sup>۴</sup> f	CGC GCA AGT CGG AAT TGT AT		
GYRB- <sup>۴</sup> r	CAT TGC GGG TGA TGA AGC TG		
GYRA- <sup>۱</sup> f	CGA TGA GCG TAA TCG TCG GC		Tadayon K, Unpublished data
GYRA- <sup>۱</sup> r	CCT CTT CCA CCT CAA CGA CTC		
GYRA- <sup>۲</sup> f	ATC GCC GAC GCC TAC AAG		
GYRA- <sup>۲</sup> r	CGA TGT CGA CGG TTT CCG A		
GYRA- <sup>۳</sup> f	ACG AGG TCA TCG CCC TGA T		
GYRA- <sup>۳</sup> r	CTG GGT GGT GAA GAA CAG GA		
GYRA- <sup>۴</sup> f	ATC CTG TTC TTC ACC ACC CAG		
GYRA- <sup>۴</sup> r	TCG CCC TCA CCC AGA TTC AT		
MAP <sup>۲۹۲</sup> -f (MIRU <sup>۲۳</sup> / MIRU <sup>۲</sup> )	CTT GAG CAG CTC GTA AAG CGT	(۳۱)	
MAP <sup>۲۹۲</sup> -r	GCT GTA TGA GGA AGT CTA TTC ATG G		
MAP-X <sup>۳</sup> (VNTR <sup>۱۶۵۸</sup> / MIRU <sup>۳</sup> )	AAC GAG AGG AAG AAC TAA GCC G		
MAP-X <sup>۳</sup>	TTA CGG AGC AGG AAG GCC AGC GGG		
MAP-MIRU <sup>۲۵</sup> f	GTC AAG GGA TCG GCG AGG		

ادامه جدول ۱- پرایمرهای مورد استفاده در این مطالعه.

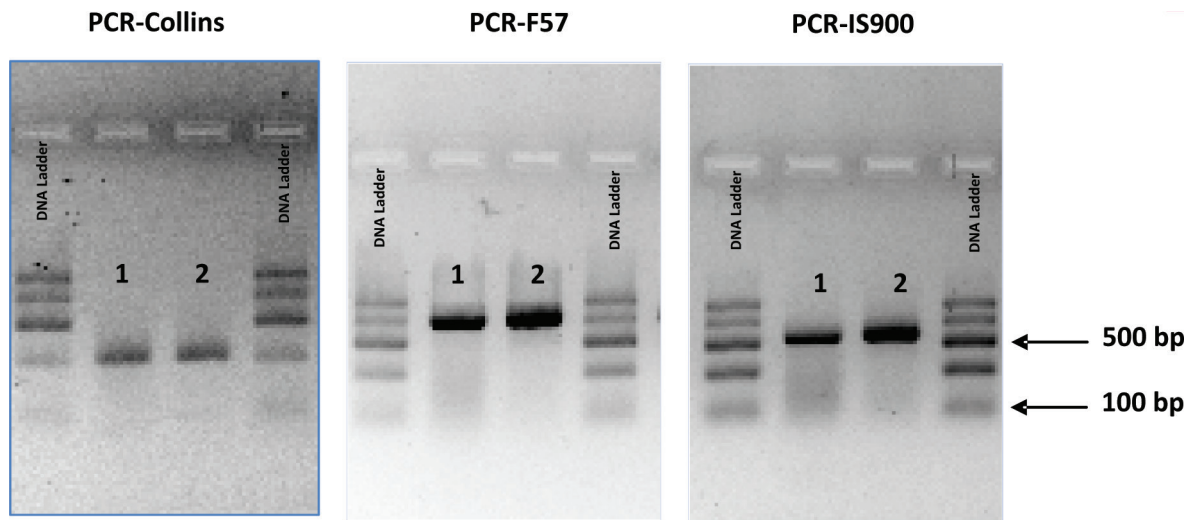
Locus/primer (alias)	Nucleotide sequence (۳' → ۵')	Reference (s)
MAP-MIRU <sup>۲۵</sup> r	TGG ACT TGA GCA CGG TCA T	(۲۱)
MAP-MIRU <sup>۴۷</sup> f	CGT TGC GAT TTC TGC GTA GC	
MAP-MIRU <sup>۴۷</sup> r	GGT GAT GGT CGT GGT CAT CC	
MAP-VNTR <sup>۳</sup> f	CAT ATC TGG CAT GGC TCC AG	
MAP-VNTR <sup>۳</sup> r	ATC GTG TTG ACC CCA AAG AAA T	
MAP-VNTR <sup>۷</sup> f	GAC AAC GAA ACC TAC CTC GTC	
MAP-VNTR <sup>۷</sup> r	GTG AGC TGG CGG CCT AAC	
MAP-VNTR <sup>۱۰</sup> f	CTC AAA GTC AGT GTG CCC GA	
MAP-VNTR <sup>۱۰</sup> r	TCC TCT ACG CGG TCA TCT AC	
MAP-VNTR <sup>۳۲</sup> f	GGA ACA CCA TGC CGA AGT TG	
MAP-VNTR <sup>۳۲</sup> r	GCT AAG TTC CGG TTT GCC GA	
SSR <sup>۱</sup> f	ACC TTC ACC CCG AGT ACA AC	
SSR <sup>۱</sup> r	CGG CCT CAT AAC CGT TGC T	
SSR <sup>۲</sup> f	CCT CCA GCC CGG AAT CGT C	
SSR <sup>۲</sup> r	CTG TTC GCC GCC CAG C	
SSR <sup>۸</sup> f	CTG GAA GGA CCT GGG CCT	
SSR <sup>۸</sup> r	CCG CAC ATA CAA GAA GC	
SSR <sup>۹</sup> f	CCG AGT TCC TCG ACC CAG T	
SSR <sup>۹</sup> r	GAT GGC GCC GAA CAC GAT T	

جدول ۲- جزئیات اجزاء واکنش ها و چرخه های حرارتی پروتکل های PCR مورد استفاده در این تحقیق.

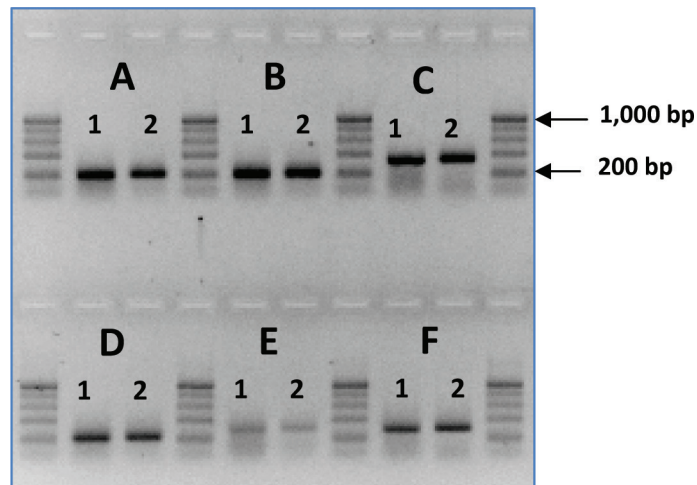
PCR protocol	PCR master mix (μl)	Primer forward (pmol/μl Δ)	Primer reverse (pmol/μl Δ)	DNA template (μl)	DMSO (μl)	PCR water (μl)	Total volume (μl)
Collins <sup>۱</sup> , F <sup>۵۷</sup> , JS <sup>۹۰۰</sup>	۷.۵	۰.۵	۰.۵	۴	۰.۶	۱.۹	۱۵
۳۲, ۱۰, ۷, ۳, ۳۷, ۲۵, X <sup>۳</sup> , ۲۹۷	۷.۵	۱	۱	۴	۰.۶	۰.۹	۱۵
(gyt (A,B	۷.۵	۰.۲۵	۰.۲۵	۴	۰.۶	۲.۴	۱۵
SSR <sup>۹</sup> , SSR <sup>۸</sup> , SSR <sup>۲</sup> , SSR <sup>۱</sup>	۷.۵	۰.۲۵	۰.۲۵	۵	۰.۶	۱.۴	۱۵

جدول ۳- ساختار نوکلئوتیدیهای پلی مرفیک (SNP) دو ژن gytA و gytB در ژنوم تیپ های یک (گوسفندی)، دو (گاوی) و سه (جد واسط) PAM. نوکلئوتیهای هم ارز در ژنوم سویه MAP K10 به عنوان شاخص مشخص گردیده است.

Gene	Base position	MAP K10	MAP III & V, MAP ۳۱۶F	Type I	Type I I	Type III
gytA	۸۶۸	G	G	A	G	G
	۱۶۵۳	C	C	A	A	A
	۱۸۲۲	C	C	A	C	A
	۱۹۸۶	C	C	C	C	T
gytB	۱۰۸	T	T	C	T	C
	۲۶۴	G	G	T	G	T
	۴۹۴	C	C	T	C	T
	۱۳۵۳	T	T	C	T	C
	۱۶۲۶	C	C	C	C	T



شکل ۱- PCR آمپلی فیکاسیون لوکوس‌های F57 و IS900 و Collins در مورد سویه MAP III&V (ستون شماره ۱) و MAP 316F (ستون شماره ۲). ژل الکتروفورز مورد استفاده از نمونه (Invitrogen® Multi-purpose Agarose) و غلظت آن معادل ۲,۱ درصد می باشد. DNA size marker بکار رفته دارای ۵ باند الکتروفورز در محدوده ۱۰۰ الی ۹۰۰ pb می باشد.



شکل ۲- PCR آمپلی فیکاسیون لوکوس‌های VNTR3 (A), VNTR7 (B), MIRU-VNTR25 (C), MIRU-VNTR47 (D), MIRU292 (E) and X3 (F) در مورد سویه MAP III&V (ستون شماره ۱) و MAP 316F (ستون شماره ۲). ژل الکتروفورز مورد استفاده از نمونه (Invitrogen® Multi-purpose Agarose) و غلظت آن معادل ۲,۱ درصد می باشد. DNA size marker بکار رفته دارای ۵ باند الکتروفورز در محدوده ۲۰۰ الی ۱۰۰۰ pb می باشد.